

طراحی بهینه مخازن استوانه‌ای دوار تحت فشار بر اساس عمر خزشی به روش تنش مرجع

فرید وکیلی تهامی^۱، افشنین عباسی^۲، پیمان مجnoon^۳، سید سعید شریفی^۴

^۱دانشیار گروه مهندسی مکانیک، دانشکده فنی مهندسی مکانیک، دانشگاه تبریز، f_vakili@tabrizu.ac.ir

^۲دانشجوی کارشناسی ارشد، مهندسی مکانیک، دانشگاه تبریز، afshinabbasi12@yahoo.com

^۳دانشجوی کارشناسی ارشد، مهندسی مکانیک، دانشگاه تبریز، p.majnoon@gmail.com

^۴دانشجوی کارشناسی ارشد، مهندسی مکانیک، دانشگاه تبریز، saeed.sharifi92@ms.tabrizu.ac.ir

ناشی از خزش مخازن استوانه‌ای با دیواره‌ی ضخیم، یکی از موضوعاتی است که توجه بسیاری از پژوهشگران را به خود جلب کرده است.

طیف وسیعی از مخازن جدار ضخیم تحت شرایط خزشی برای حالت‌های مختلف بارگذاری شامل فشار داخلی، بارگذاری سطح خارجی و بارگذاری اینرسی توسط سیم و پنی [۱] تجزیه و تحلیل شده‌اند. با فرض شرایط کرنش صفحه‌ای، باتنگار و همکاران [۲,۳] سیلندر دوار همگن تحت فشار داخلی که در معرض حالت پایای خزش می‌باشد را مورد بررسی و تحلیل قرار دادند. همچنین آن‌ها در مطالعه‌ای دیگر، با در نظر گرفتن اثر ناهمسانگردی روی تنش و کرنش، تحلیل خزشی سیلندرهای جدار ضخیم دوار را مورد بررسی قرار دادند [۳]. روش تنش مرجع که پاسخ غیر الاستیک سازه‌ها را توصیف می‌کند در بررسی رفتار خزشی مخازن کاربرد وسیعی دارد [۴,۵]. یکی دیگر از روش‌های بررسی خزش در مخازن، روش‌های تحلیلی- عددی می‌باشند که اکثراً با استفاده از حل معادلات حاکم و اساسی به کمک روش‌های عددی، توزیع تنش و کرنش را در جدارهای مخازن بدست می‌دهند [۶]. شارما [۷] با استفاده از حل روش‌های تحلیلی- عددی رفتار گذراخانه مخازن جدار ضخیم دوار غیرهمگن را بررسی نموده است. پنکاچ [۸-۱۰] نیز رفتار الاستوپلاستیک مخازن دوار در درجه حرارت ثابت را با استفاده از روش تغییر شکل‌های محدود پیش‌بینی نموده است. همچنین کشکولی و زمانی نژاد [۱۱] تأثیر شار حرارتی را در رفتار خزشی مخازن جدار ضخیم با روش تحلیلی- عددی بررسی نموده‌اند. حسینی و همکاران [۱۲] نیز روش دقیق تحلیلی برای تعیین رفتار خزشی دیسک‌های دوار در معرض فشار داخلی و خارجی را ارائه نموده‌اند. هرچند این روش، به خصوص در بارهای ترکیبی، استفاده‌ی بسیاری دارد [۱۳,۱۴] ولی بسیار زمان بر بوده و نیاز به امکانات سخت‌افزاری رایانه‌ای پیشرفت‌های دارد. در مقابل، روش‌های تخمینی که عمدتاً بر اساس محاسبه‌ی تنش مرجع استوار هستند قابلیت پیش‌بینی رفتار خزشی سازه‌ها را با زمان حل کوتاه دارند. بنابراین از این روش در بسیاری از کدهای استاندارد از جمله R5 استفاده می‌گردد [۱۵,۱۶].

چکیده به دلیل کاربرد وسیع مخازن تحت فشار در صنایع مختلف، از جمله صنایع نفت و گاز و تولید نیرو، بررسی رفتار مکانیکی آن‌ها سرلوحه‌ی بسیاری از تحقیقات علمی و مهندسی است. عموماً این مخازن در درجه حرارت و فشار بالا و در حال دوران کار می‌کنند که مطالعه‌ی رفتار خزشی این مخازن از اهمیت بسیار بالایی برخوردار است. به دلیل پیچیدگی معادلات حاکم، در کدهای استاندارد صنعتی و نیز بسیاری از کارهای تحقیقاتی، از روش‌های تخمینی که بر مبنای تنش مرجع استوار هستند، استفاده می‌شود. تعیین تنش مرجع در شرایطی که سازه تحت بارهای ترکیبی است، بسیار پیچیده می‌شود. به همین منظور، در این تحقیق، ابتدا روشی برای تعیین تنش مرجع و نقطه‌ی مرتع برای مخازن استوانه‌ای تحت فشار دوار ارائه شده است که استفاده از آن، طراحان را از حل عددی و یا تحلیلی مسئله بی‌نیاز می‌سازد. دقت تنش مرجع بدست آمده با نتایج حاصل از حل عددی صحت‌سنجد شده و خطای کمتر از ۱۰ درصد را نشان می‌دهد. سپس از تنش مرجع برای طراحی بهینه مخازن با هدف بیشینه عمر خزشی و اراضی شرط معیار استحکام استفاده شده و به عنوان نمونه، دیاگرام پارامترهای طراحی برای مخازن دوار از جنس آلیاژ 2.25Cr-1Mo در درجه سانتیگراد ارائه شده است که می‌تواند به سهولت مورد استفاده طراحان صنعتی قرار گیرد.

واژه‌های کلیدی

خرش، تنش مرجع، استوانه‌ی جدار ضخیم، چرخش محوری، طراحی بهینه.

مقدمه

مخازن استوانه‌ای یکی از پرکاربردترین اجزاء در سامانه‌های مختلف صنعتی و مهندسی هستند. از مهم‌ترین کاربردها، می‌توان به مخازن تحت فشار و لوله‌های انتقال در صنایع نفت و گاز، تولید نیرو، رآکتورهای هسته‌ای، سانتریفیوژها و غیره اشاره نمود. این مخازن عموماً در معرض فشار داخلی و نیروهای ناشی از دوران در درجه حرارت بالا هستند. به همین دلیل، تجزیه و تحلیل تنش و کرنش

(۱۰) و در نهایت با ترکیب روابط بدست آمده و انجام عملیات ریاضی خواهیم داشت:

$$\sigma_r(r) = \frac{-m}{\sqrt{3}} \left(\frac{2C_1}{B\sqrt{3}} \right)^{\frac{1}{m}} r^{-\frac{2}{m}} - \frac{\rho r^2 \omega^2}{2} + C_2 \quad (7)$$

که C_2 ثابت انتگرال گیری می‌باشد. با اعمال شرایط مرزی ثوابت C_1 و C_2 بدست آمده و با جایگذاری در رابطه بالا، تنش شعاعی بصورت رابطه (۸) درمی‌آید. همچنین تنش محیطی، تنش محوری و تنش موثر بصورت روابط (۸) تا (۱۱) بدست می‌آیند.

$$\begin{aligned} \sigma_r(r) &= \frac{p}{(b/a)^{\frac{2}{m}} - 1} \left(\left(\frac{r}{a} \right)^{\frac{2}{m}} - \left(\frac{b}{a} \right)^{\frac{2}{m}} \right) + \\ &\quad \frac{1}{2} \rho a^2 \omega^2 \left[1 - \left(\frac{r}{a} \right)^2 + \frac{(b/a)^2 - 1}{(b/a)^{\frac{2}{m}} - 1} \left(\left(\frac{r}{a} \right)^{\frac{2}{m}} - 1 \right) \right] \end{aligned} \quad (8)$$

$$\begin{aligned} \sigma_\theta(r) &= \frac{p}{(b/a)^{\frac{2}{m}} - 1} \left[\frac{m-2}{m} \left(\frac{r}{a} \right)^{\frac{2}{m}} - \left(\frac{b}{a} \right)^{\frac{2}{m}} \right] + \frac{1}{2} \rho a^2 \omega^2 \times \\ &\quad \left[1 - \left(\frac{r}{a} \right)^2 + \frac{(b/a)^2 - 1}{(b/a)^{\frac{2}{m}} - 1} \left[\left(\frac{m-2}{m} \right) \left(\frac{r}{a} \right)^{\frac{2}{m}} - 1 \right] \right] \end{aligned} \quad (9)$$

$$\begin{aligned} \sigma_z(r) &= \frac{p}{(b/a)^{\frac{2}{m}} - 1} \left[\frac{m-1}{m} \left(\frac{r}{a} \right)^{\frac{2}{m}} - \left(\frac{b}{a} \right)^{\frac{2}{m}} \right] + \frac{1}{2} \rho a^2 \omega^2 \times \\ &\quad \left[1 - \left(\frac{r}{a} \right)^2 + \frac{(b/a)^2 - 1}{(b/a)^{\frac{2}{m}} - 1} \left[\left(\frac{m-1}{m} \right) \left(\frac{r}{a} \right)^{\frac{2}{m}} - 1 \right] \right] \end{aligned} \quad (10)$$

$$\begin{aligned} \sigma_e(r) &= \frac{p}{1 - (b/a)^{\frac{2}{m}}} \left(\frac{\sqrt{3}}{m} \left(\frac{r}{a} \right)^{\frac{2}{m}} \right) \\ &\quad + \frac{1}{2} \rho a^2 \omega^2 \left[\frac{(b/a)^2 - 1}{1 - (b/a)^{\frac{2}{m}}} \left(\frac{\sqrt{3}}{m} \right) \left(\frac{r}{a} \right)^{\frac{2}{m}} \right] \end{aligned} \quad (11)$$

با توجه به اینکه توزیع تنش پایدار به ضریب B بستگی ندارد، لذا برای تعیین نقطه و تنش مرجع در مخزن، بایستی توزیع تنش بی‌بعد در جدارهای آن را به ازای مقادیر مختلف m تعیین نمود. نقطه‌ی مرجع هر سازه در رفتار خرزشی، نقطه‌ای است که مقدار تنش پایدار در آن به ازای m های متفاوت (جنس‌های متفاوت) یکسان می‌باشد. بنابراین مقدار تنش بی‌بعد در این نقطه مستقل از جنس مخزن خواهد بود که این امر اهمیت آن را آشکار می‌سازد. با استفاده از مقدار این تنش می‌توان رفتار سازه را به داده‌های تجربی حاصل از آزمایش خرزش تکمحوری مرتبط ساخت [۱۲].

با فرض ماده الاستیک- کاملاً پلاستیک، در یک فشار یا سرعت زاویه‌ای مشخص که کل مقطع مخزن به حالت پلاستیک می‌رسد، بار واماندگی پلاستیک (Plastic Collapse) حاصل می‌شود. فشار

یکی از چالش‌های مهم در روش‌های تقریبی و تخمینی، تعیین تنش مرجع در بارهای ترکیبی می‌باشد به همین دلیل، در این مقاله روشی برای تعیین تنش مرجع و نقطه‌ی مرجع مخازن استوانه‌ای که تحت بارگذاری ترکیبی ناشی از فشار داخلی و دوران محوری می‌باشد، ارائه شده است. سپس طی یک مدل‌سازی المان محدود، نتایج حاصل این روش صحه‌گذاری می‌شود. در نهایت با استفاده از تنش مرجع محاسبه شده، روشی برای طراحی بهینه مخازن با هدف بیشینه عمر خرسنی و با ارضای شرط معیار استحکام پیشنهاد شده است. به عنوان نمونه دیاگرام پارامترهای طراحی برای مخازن استوانه‌ای دوار از جنس آلیاژ 2.25Cr-1Mo در درجه ۶۰۰ سانتیگراد ارائه شده است که می‌تواند مورد استفاده طراحان صنعتی قرار گیرد.

تحلیل خرزش پایا

مخزن استوانه‌ای مورد نظر در این تحقیق با شعاع داخلی a و شعاع خارجی b تحت فشار داخلی p با سرعت دورانی ω در حال چرخش می‌باشد. فرض برقراری شرایط کرنش صفحه‌ای و بارگذاری متقابن محوری در مختصات استوانه‌ای انتخاب شده است. معادله‌ی تعادل در این مختصات مطابق رابطه (۱) می‌باشد:

$$r \frac{d\sigma_r}{dr} = \sigma_\theta - \sigma_r - \rho r^2 \omega^2 \quad (1)$$

که در آن، r فاصله‌ی هر نقطه از دیواره‌ی مخزن از مرکز، ρ چگالی و σ تنش می‌باشد. زیرنویس‌های r و θ به ترتیب جهت‌های شعاعی و محیطی را نشان می‌دهند. معادله‌ی سازگاری در رابطه (۲) نشان داده شده است:

$$r \frac{d\dot{\varepsilon}_\theta^c}{dr} = \dot{\varepsilon}_r^c - \dot{\varepsilon}_\theta^c \quad (2)$$

که در آن $\dot{\varepsilon}$ کرنش و بالانویس c نشان دهنده‌ی خرزش می‌باشد. حل معادله دیفرانسیل حاکم بصورت زیر است:

$$\dot{\varepsilon}_r^c = -\dot{\varepsilon}_\theta^c = \frac{C_1}{r^2} \quad (3)$$

که در رابطه‌ی بالا C_1 ثابت انتگرال گیری می‌باشد. نرخ کرنش خرزشی مؤثر به‌شکل زیر محاسبه می‌شود:

$$\bar{\dot{\varepsilon}}^c = \frac{2}{\sqrt{3}} \frac{C_1}{r^2} \quad (4)$$

با توجه به برقراری کرنش صفحه‌ای و قانون سیلان پرانتل-روس $\lambda S_{zz}^c = \lambda \dot{\varepsilon}_z^c$ که در آن S تنش انحرافی می‌باشد، رابطه تنش موثر بصورت زیر بدست می‌آید:

$$\sigma_e = \frac{\sqrt{3}}{2} |\sigma_\theta - \sigma_r| \quad (5)$$

با فرض تحلیل پایای خرزشی و استفاده از رابطه‌ی نورتون [۴]:

$$\frac{d\bar{\dot{\varepsilon}}^c}{dt} = B \sigma_e^m \quad (6)$$

که B و m ثوابت معادله‌ی خرزش می‌باشند و مقدار آن‌ها به جنس ماده‌ی مورد بررسی وابسته است. از ترکیب معادله (۱) با (۹) و (۶) با

$$\sigma_R = \frac{\sqrt{3}a^2}{4Ln(\xi)} \left(\frac{2P}{a^2} + \rho\omega^2(r^2 - 1) \right) \quad (20)$$

تحلیل عددی

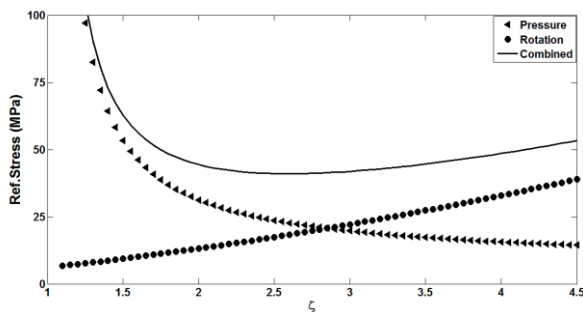
در این تحلیل از روش المان محدود برای تعیین تنش و کرنش خرشهای پایای مخزن استوانهای جدار ضخیم به کمک نرمافزار آباکوس در سه حالت: فقط فشار داخلی، فقط چرخش محوری و حالت ترکیبی فشار و چرخش استفاده شده است. با توجه به این که توان رابطه‌ی نورتون (m) برای بیشتر مواد صنعتی بین ۳ تا ۹ می‌باشد [۱۷]، توزیع تنش مؤثر در جدارهای مخزن برای ضرایب توان نورتون بر اساس حل عددی بدست آمده و مقدار تنش مرجع و نقطه‌ی مرجع تعیین شده است. به منظور بررسی صحت و دقت حل‌های تحلیلی، تنش‌های مرجع بدست آمده در هر حالت با مقادیر حاصل از حل عددی مقایسه شده‌اند. برای شبکه‌بندی از المان‌های ریز با اندازه ۰/۰۰۱ شاعع داخلی استوانه استفاده شده و همچنین بر اساس همگرایی پاسخ‌های حاصل، تعداد ۲۲۰۰۰ المان در هر مقطع طولی برای حل عددی انتخاب شده است.

طرایی بهینه مخزن استوانهای دوار تحت فشار داخلی

تنش مرجع برای مخزن استوانه تحت فشار داخلی دوار در رابطه (۱۹) ارائه شده است. با ثابت نگه داشتن شاعع داخلی مخزن به منظور تامین حجم معین که غالباً معیار اصلی طراحی صنعتی مخازن می‌باشد و تغییر پارامتر ξ (نسبت شاعع خارجی به داخلی) می‌توان خاصیت بهینه برای کمینه کردن تنش مرجع به ازای فشار داخلی و سرعت زاویه‌ای معین را بدست آورد:

$$p/(1/2)\rho a^2\omega^2 = \left[1 + \zeta_{opt}^2 (\ln(\zeta_{opt}^2) - 1) \right] \quad (21)$$

به ازای یک فشار و سرعت زاویه‌ای معین، مقدار بهینه ζ_{opt} وجود دارد که تنش مرجع را کمینه می‌کند و در این صورت عمر خرشه پوسته بیشینه خواهد بود. می‌توان برای هر نسبت شعاعی بهینه تعداد زیادی از زوج‌های (ω, p) را تعیین نمود بطوریکه عمر خرشه بیشینه شود. برای مثال، در شکل (۱) تغییرات تنش مرجع در حالت فشار داخلی ۲۵ MPa، دوران محوری ۳۰۰ rad/s و حالت بار ترکیبی به ازای نسبت‌های شعاعی مختلف برای آلیاژ 2.25Cr-1Mo ۲۰ ارائه شده است.



شکل ۱: تغییرات تنش مرجع به ازای نسبت‌های شعاعی مختلف برای مخزن تحت فشار خالص، مخزن دوار و مخزن با بار ترکیب

واماندگی پلاستیک کامل برای مخزن تحت فشار داخلی و برای مخزن دوار به ترتیب به صورت زیر بدست می‌آیند [۱۷]:

$$p_L = \frac{2\sigma_Y}{\sqrt{3}} Ln(\xi) \quad (12)$$

$$\omega_L = \sqrt{(4\sigma_Y Ln\xi) / (\sqrt{3}\rho a^2(\xi^2 - 1))} \quad (13)$$

که در آن σ_Y تنش تسلیم و ξ نسبت شاعع خارجی به داخلی می‌باشند. از طرفی رابطه‌ی بین تنش مرجع، σ_R ، و بارهای اعمالی Γ و واماندگی پلاستیک، Γ_L ، بصورت زیر بیان می‌شود [۱۶]:

$$\sigma_R = (\Gamma / \Gamma_L) \sigma_Y \quad (14)$$

بنابراین تنش مرجع مخزن تحت بار فشار داخلی و سرعت دورانی به ترتیب بصورت روابط زیر خواهد بود:

$$\sigma_R)_p = \sqrt{3}p / (2Ln(\xi)) \quad (15)$$

$$\sigma_R)_\omega = \sqrt{3}\rho a^2 \omega^2 [\xi^2 - 1] / (4Ln(\xi)) \quad (16)$$

در حالت بارگذاری با فشار داخلی و یا سرعت دورانی، با مساوی قراردادن رابطه (۱۱) با تنش‌های مرجع متناظر با هر حالت، نقطه‌ی مرجع بصورت زیر بدست می‌آید:

$$r_R = \sqrt{2a^2 \ln(\xi) / 1 - \xi^2} \quad (17)$$

به منظور تعیین تنش مرجع در حالت بارگذاری ترکیبی می‌توان از اصل برهمنهی استفاده کرد، هرچند این اصل در بارگذاری الاستیک خطی اعتبار دارد، در حالی که رفتار خرشه‌ها غیرخطی و پلاستیک می‌باشد. به همین دلیل رابطه‌ی برگرفته از اصل برهمنهی با ضرایب تصحیح α و β اصلاح می‌شود که تعیین این ضرایب با درنظر گرفتن دقت مورد نظر و مقایسه‌ی نتایج انجام می‌گیرد. بنابراین، رابطه‌ی پیشنهادی در حالت کلی بصورت زیر خواهد بود:

$$(\sigma_R)_{com} = \sum_{i=1}^q \alpha_i (\sigma_{R,i})^{\beta_i} \quad (18)$$

که در آن $(\sigma_R)_{com}$ تنش مرجع برای بارگذاری ترکیبی و $\sigma_{R,i}$ تنش مرجع برای هر بارگذاری مستقل i می‌باشد. ضرایب α_i و β_i با استفاده از مقایسه‌ی نتایج و دقت مورد نظر تعیین می‌گردد. تنش مرجع برای مخزن دوار تحت فشار داخلی برابر خواهد بود با:

$$\sigma_R = \alpha_p \left[\frac{\sqrt{3}p}{2(Ln\xi)} \right]^{\beta_p} + \alpha_\omega \left[\frac{\sqrt{3}\rho a^2 \omega^2 [\xi^2 - 1]}{4Ln(\xi)} \right]^{\beta_\omega} \quad (19)$$

در اولین انتخاب، مقدار ضرایب تصحیح برابر یک فرض می‌شوند. صحت این فرض در ادامه با مقایسه‌ی نتایج ارزیابی خواهد شد و در صورت نیاز، مقادیر فرض شده اصلاح می‌گردد. بنابراین تنش مرجع در بار ترکیبی به صورت زیر خواهد بود:

جدول ۱: ابعاد هندسی و مشخصات مکانیکی [۱۸] مخزن استوانه‌ای ساخته شده از آلیاژ 2.25Cr-1Mo

۰/۱m	شعاع داخلی
۳	نسبت شعاعی
۱۹۰ MPa	تنش تسلیم
۲۱۰ GPa	مدول الاستیک
۷۸۰۰ kg/m ³	چگالی
۱۰۰ MPa	تنش معیار برای عمر خزشی ۱۰۰۰ ساعت
۷۱ MPa	تنش معیار برای عمر خزشی ۱۰۰۰۰ ساعت
۵۵ MPa	تنش معیار برای عمر خزشی ۲۵۰۰۰ ساعت
۴۰ MPa	تنش معیار برای عمر خزشی ۵۰۰۰۰ ساعت
۲۳ MPa	تنش معیار برای عمر خزشی ۱۰۰۰۰۰ ساعت

شکل‌های (۲) و (۳) توزیع تنش بی‌بعد مؤثر در جداره‌ی مخزن تحت فشار داخلی ۶۶ مگاپاسکال و سرعت دورانی ۳۱۲ رادیان بر ثانیه را نشان می‌دهند. شکل (۲) نتایج حاصل از روش تحلیلی و شکل (۳) نتایج حاصل از تحلیل المان محدود را ارائه می‌دهند. توزیع تنش مؤثر به ازای $m = 1$ معادل با حالت تنش‌های الاستیک است و به ازای مقادیر دیگر m ، توزیع تنش مؤثر مربوط به حالت خزش پایا (Stress Redistribution) می‌باشد. با توجه به توزیع مجدد تنش در اثر وقوع پدیده خزش در مخزن، میزان تنش مؤثر در سطح داخلی مخزن کاهش یافته است. محل تقاطع منحنی‌ها، محل و مقدار تنش مرجع را نشان می‌دهند که در روش المان محدود و حل تحلیلی به ترتیب $75/۹۴$ و $76/۹$ مگاپاسکال می‌باشند.

محل نقطه‌ی مرجع در حل تحلیلی برای هر سه حالت بارگذاری یکسان و $r/a = 1.57$ بدست آمده است. محل نقطه‌ی مرجع در روش المان محدود $r/a = 1.62$ می‌باشد. علت اختلاف به این دلیل است که در روش تحلیلی، محل نقطه‌ی مرجع از محل تقاطع منحنی الاستیک و منحنی مربوط به ماده‌ی الاستیک - کاملاً پلاستیک بدست آمده است، اما محل نقطه‌ی مرجع در تحلیل عددی برای مقادیر مختلف توان رابطه‌ی نورتون، محاسبه شده است و بنابراین واقعی‌تر است. جدول (۲)، تنش مرجع بدست آمده در هر سه حالت بارگذاری با روش‌های تحلیلی و عددی را نشان می‌دهد. بر اساس نتایج بدست آمده، تنش مرجع برای بارگذاری ترکیبی، با استفاده از رابطه‌ی (۲۰) با خطای $۱/۲۶$ درصد، نسبت به مقدار حاصل از حل عددی، بدست می‌آید. تنش مرجع در این حالت عملاً برابر با مجموع تنش‌های مرجع بدست آمده از حالت‌های بارگذاری فشار داخلی و دوران محوری به طور جداگانه می‌باشد. با توجه به این که در مسائل خزش، تعیین ضرایب معادلات اساسی دشوار بوده و بررسی تجربی رفتار خزشی سازه‌ها پرهزینه می‌باشد، لذا این مقدار خطأ با عنایت به سهولت استفاده از روش تنش مرجع قبل قبول است. پس دقت رابطه‌ی پیشنهادی برای تخمین مقدار تنش مرجع با ضرایب α_i و β_i برابر یک، مورد تأیید قرار می‌گیرد.

بر اساس این نمودار با افزایش ضخامت مخزن، سهم دوران در مقدار تنش مرتع و به تبع آن عمر خزشی افزایش می‌یابد و با کاهش ضخامت، اثر فشار داخلی مشهودتر است. با توجه به این نمودار، در حالت بارگذاری ترکیبی حداقل میزان تنش مرتع در یک فشار و سرعت معین تنها در یک ضخامت خاص حاصل می‌شود. این نتیجه را می‌توان به ازای هر فشار و سرعت معین تعمیم داده و یک ضخامت بهینه برای کمینه سازی تنش مرتع و در نتیجه عمر خزشی بیشینه ارائه نمود.

از نظر صنعتی، مشخصات مخزن باید طوری تعیین شود که عمر خزشی طراحی را داشته باشد که این منظور علاوه بر هندسه مخزن، به درجه حرارت کاری و جنس آن وابسته است. عمر خزشی می‌تواند به صورت تجربی با آزمایش تک محوری در مقدار تنش مرتع بهینه و دمای طراحی تعیین شود. علاوه بر آن، این عمر از دیاگرام‌هایی مانند دیاگرام لارسن میلر یا روابطی به شکل ذیل به صورت تقریبی بدست می‌آید [۱۸]:

$$t_f = \left[A \sigma_R^\chi \right]_{\text{at operating Temp.}} \quad (22)$$

که در آن t_f عمر خزشی برای جنس مورد نظر در دمای کاری و تنش مرتع می‌باشد. A و χ ضرایب وابسته به جنس می‌باشند. با استفاده از رابطه (۲۰) به ازای هر فشار و سرعت دورانی معین، مقدار تنش مرتع بدست آمده و عمر خزشی بر اساس نتایج تجربی تعیین می‌شود. در عین حال باید توجه داشت که انتخاب سرعت و فشار، علاوه بر معیار عمر خزشی با معیار استحکام نیز محدود می‌شود. مقدار تنش ون - میسز بیشینه در جداره داخلی مخزن در حالت الاستیک، عنوان معیار طراحی استحکام بصورت زیر می‌باشد:

$$(\sigma_e)_{\text{Max}} = \frac{\sqrt{3}\zeta^2}{\zeta^2 - 1} P + \frac{\sqrt{3}}{2} \rho a^2 \zeta^2 \omega^2 \quad (23)$$

برای تأمین ضریب اطمینان SF در طراحی رابطه زیر برقرار می‌شود:

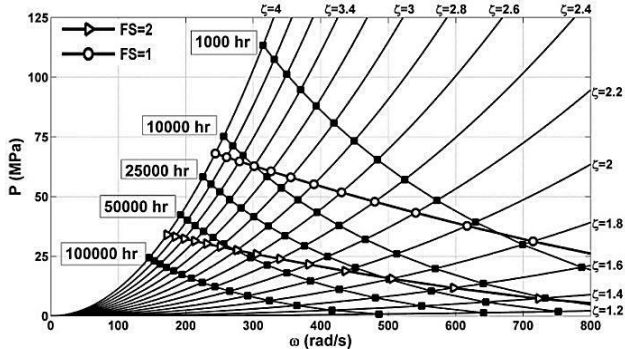
$$P + \frac{1}{2} (\zeta^2 - 1) \rho a^2 \omega^2 = \frac{\zeta^2 - 1}{\sqrt{3}\zeta^2} \frac{\sigma_y}{SF} \quad (24)$$

بر اساس روابط فوق می‌توان ضخامت بهینه مخزن دوران تحت فشار داخلی را با شرط بیشینه عمر خزشی مطلوب طراحی و همچنین با در نظر گرفتن معیار استحکام مناسب، تعیین نمود.

نتایج

جهت صحت‌سننجی، نتایج حاصل از حل عددی و تحلیلی بصورت نمودارهای بی‌بعد مولفه‌های تنش در جداره‌ی مخزن به ازای m های مختلف تعیین و تنش مرجع مقایسه می‌شود. با توجه به ابعاد و خواص مکانیکی مخزن، فشار و سرعت دورانی پلاستیک کامل به ترتیب $253/۷$ مگاپاسکال و $۹۰۱/۸$ رادیان بر ثانیه می‌باشند. به منظور تأمین ضریب اطمینان مناسب، در حل تحلیلی و عددی، فشار داخلی $P = 0.25P_L$ و سرعت دورانی $\omega = 0.35\omega_L$ فرض شده است. خواص مکانیکی مربوط به آلیاژ 2.25Cr-Mo در دمای 600 درجه سانتیگراد در جدول (۱) ارائه شده است.

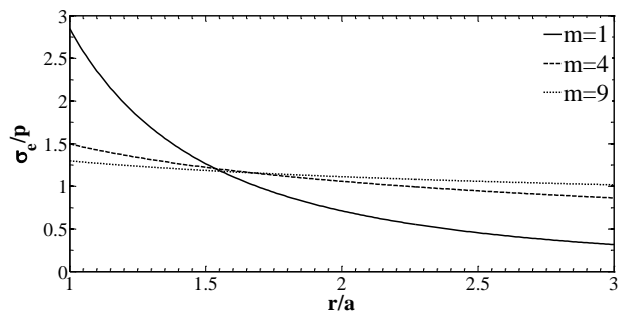
فولاد آلیاژی 2.25Cr-1Mo ارائه شده در مدارک فنی [۱۸] استفاده شده است. در مورد مخزن با جنس مورد نظر، نتایج نشان می‌دهند که با افزایش سرعت دورانی، خوش عامل تعیین کننده طراحی می‌باشد در حالی که در سرعت‌های دورانی کم، عامل تعیین کننده، قید استحکام الاستیک یا ضریب اطمینان می‌باشد. فشار و سرعت دورانی که در آنها خطوط عمر خوشی ثابت و ضریب اطمینان ثابت همیگر را قطع می‌کنند، حالت گذار طراحی نامیده می‌شوند. علاوه بر آن، مشاهده می‌شود که بهازای عمر خوشی قابل قبول صنعتی (۵۰۰۰۰ ساعت و بالاتر) قید استحکام الاستیک اهمیت خود را از دست می‌دهد.



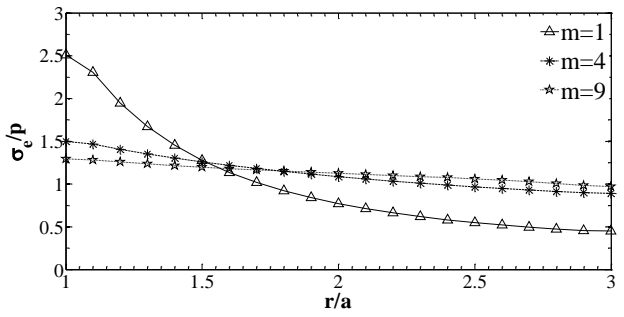
شکل (۳): دیاگرام تعیین نسبت شعاعی بهینه برای مخزن استوانه‌ای دوار تحت فشار داخلی بر اساس معیار عمر خوشی بیشینه و قید استحکام الاستیک. مخزن از آلیاژ 2.25Cr 1Mo در ۶۰۰ درجه سانتیگراد می‌باشد.

نتیجه‌گیری و جمع‌بندی

در این مقاله روشی برای تعیین نتش مرجع برای مخازن تحت بارگذاری ترکیبی فشار داخلی و دوران پیشنهاد شده است و مقایسه‌ی نتایج با داده‌های حاصل از حل عددی و تحلیلی، دقیق رابطه‌ی پیشنهادی را تأیید نموده است. از این رابطه به سهولت می‌توان جهت تعیین نتش مرجع در مخازن با بار ترکیبی استفاده نموده و با ترتیب دادن آزمایش تجربی خوش تکمکوری با نتش مذکور، می‌توان عملأً رفتار سازه را پیش‌بینی نمود. بر این اساس، دیاگرام طراحی برای مخزنی از جنس 2.25Cr-1Mo ارائه شده است که ضخامت بهینه مخزن با شرط عمر خوشی بیشینه را ارائه می‌دهد. شایان ذکر است که علی‌رغم اهمیت و کاربردی بودن دیاگرام مذکور، تهیه آن نیاز به بررسی تحلیلی یا عددی رفتار خوشی مخازن ندارد و تنها به کمک معادلات ساده ارائه شده، تدوین می‌شود. در مورد مخزن با جنس مورد نظر نتایج نشان می‌دهند که با افزایش سرعت دورانی، خوش عامل تعیین کننده طراحی می‌باشد در حالی که در سرعت‌های دورانی کم، عامل تعیین کننده، قید استحکام الاستیک یا ضریب اطمینان می‌باشد. علاوه بر آن، مشاهده می‌شود که بهازای عمر خوشی قابل قبول صنعتی (۵۰۰۰۰ ساعت و بالاتر) قید استحکام الاستیک اهمیت خود را از دست می‌دهد.



شکل (۲): توزیع نتش بی بعد مؤثر در جداره مخزن تحت بارگذاری ترکیبی حاصل از حل تحلیلی



شکل (۳): توزیع نتش بی بعد مؤثر در جداره مخزن تحت بارگذاری ترکیبی حاصل از حل عددی (المان محدود)

جدول ۲: مقایسه‌ی نتش مرجع بر حسب MPa در هر سه حالت بارگذاری

درصد خطای حل عددی نسبت به حل تحلیلی	خطا*	رابطه‌ی پیشنهادی	عددی	تحلیلی	نوع بارگذاری
۷/۸۸	-		۵۶/۱	۵۲	$P = 66 \text{ MPa}$ $\omega = 0$
۱/۰۴	-		۲۴/۱۹	۲۳/۹۴	$P = 0$ $\omega = 312 \text{ rad/sec}$
۱/۲۶	۷۵/۹۴	۷۶/۹	-	-	$P = 66 \text{ MPa}$ $\omega = 312 \text{ rad/sec}$

* درصد خطای حل عددی نسبت به حل تحلیلی
از شکل (۲) که تغییرات نتش موثر در جداره مخزن را نشان می‌دهد می‌توان استنباط کرد که در بیشتر مواد صنعتی ($m > 3$) نسبت نتش بیشینه به نتش مرجع در حالت پایدار خوشی کمتر از $1/23$ می‌باشد. بنابراین می‌توان عمر خوشی مخازن را با لحاظ ضریب اطمینان مناسب بر اساس نتش مرجع تعیین نمود. پس بهازای جنس و درجه حرارت یکسان مخزنی عمر خوشی بیشینه خواهد داشت که نتش مرجع آن کمینه باشد.

به‌منظور بهینه‌سازی طراحی مخزن با معیار عمر خوشی بیشینه و قید ضریب اطمینان مناسب از نظر استحکام، می‌توان به کمک معادلات بدست آمده و مشخصات فیزیکی جنس مورد نظر که در جدول (۱) آمده است، دیاگرامی مانند شکل (۳) را بدست آورد. این دیاگرام برای مخزن تحت فشار دوار از جنس 2.25Cr-1Mo در درجه حرارت ۶۰۰ درجه سانتیگراد رسم شده است. از محل تقاطع منحنی ضریب اطمینان طراحی و منحنی عمر ثابت خوشی با منحنی نسبت شعاع بهینه ی، می‌توان مشخصات مخزن بهینه را تعیین نمود. در تهیه این دیاگرام از نتایج تجربی مربوط به رفتار خوشی

- structure integrity, International journal of pressure vessels and piping, 1997, vol. 71, pp. 47-53.
- 6- M. Zamani Nejad and M. Davoudi Kashkoli, Time-dependent thermo-creep analysis of rotating FGM thick-walled cylindrical pressure vessels under heat flux, International Journal of Engineering Science, 2014, vol. 82, pp. 222-237.
 - 7- S. Sharma, Thermo creep transition in non-homogeneous thick-walled rotating cylinders, Defence Science Journal, 2009, vol. 59, pp. 30-36.
 - 8- T. Pankaj, Elastic-plastic transition stresses in rotating cylinder by finite deformation under steady-state temperature, Thermal Science, 2011, vol. 15, p. 537.
 - 9- T. Pankaj, Steady thermal stress and strain rates in a rotating circular cylinder under steady state temperature, Thermal Science, 2014, vol. 18, pp. 93-106.
 - 10- T. Pankaj, Stresses in a thick-walled circular cylinder having Pressure by using concept of generalized strain measure, Kragujevac Journal of Science, 2013, vol. 35, pp. 41-48.
 - 11- M. Davoudi Kashkoli and M. Zamani Nejad, Effect of Heat Flux on Creep Stresses of Thick-Walled Cylindrical Pressure Vessels, Journal of Applied Research and Technology, 2014, vol. 12, pp. 585-597.
 - 12- Z. Hoseini, M. Zamani Nejad, A. Niknejad, and M. Ghannad, New exact solution for creep behavior of rotating thick-walled cylinders, Journal of Basic and Applied Scientific Research, 2011, vol. 1, pp. 1704-1708.
 - 13- H. Jahed and J. Bidabadi, An axisymmetric method of creep analysis for primary and secondary creep, International journal of pressure vessels and piping, vol. 80, 2003, pp. 597-606.
 - 14- H. Altenbach, Y. Gorash, and K. Naumenko, Steady-state creep of a pressurized thick cylinder in both the linear and the power law ranges, Acta Mechanica, vol. 195, 2008, pp. 263-274.
 - 15- I. W. Goodall, R. A. Ainsworth, Assessment procedure for the high temperature response of structures, International Union of Theoretical and Applied Mechanics, 1991, pp. 303-311
 - 16- J. Jelwan, M. Chowdhury, and G. Pearce, Creep life design criterion and its applications to pressure vessel codes, Materials Physics and Mechanics, 2011, vol. 11, pp. 157-182.
 - 17- H. Kraus, "Creep analysis", Research supported by the Welding Research Council. New York, Wiley-Interscience, 1980. 263 p, 1980.
 - 18- K. Yagi, "2.25Cr 1Mo Low alloy steels: Creep and rupture data of heat resistant steels", Chapter 2, Vol 2B of the series "Landolt-Bornstein-group VII Advanced Materials And Technologies-pp 67-73, 2004

فهرست علائم	
m	شعاع داخلی، a
m	شعاع خارجی، b
m	ثابت معادلهی خرشن
MPa	فشار داخلی، p
m	فاصلهی هر نقطه از دیوارهی مخزن، r
MPa	تنش انجرافی، S
SF	ضریب اطمینان
t _f	عمر خرشنی
Γ	علائم یونانی
ε	پارامتر عمومی بارگذاری
ε	کرنش
η	نسبت شعاع خارجی به شعاع داخلی
ρ	چگالی، kg/m ³
σ	تنش، MPa
ω	سرعت دورانی، rpm
z	زیرنویس
e	موثر
L	واماندگی پلاستیک
opt	مقدار بهینه
R	مرجع
r	جهت شعاعی
z	محوری
θ	جهت محیطی
c	بالانزویس
	خرشن

مراجع

- 1- R. Sim and R. Penny, Plane strain creep behaviour of thick-walled cylinders, *International Journal of Mechanical Sciences*, 1971, vol. 13, pp. 987-1009.
- 2- N. Bhatnagar, P. Kulkarni, and V. Arya, Creep analysis of an internally pressurised orthotropic rotating cylinder, Nuclear engineering and design, 1984, vol. 83, pp. 379-388.
- 3- N. Bhatnagar, P. Kulkarni, and V. Arya, Creep analysis of orthotropic rotating cylinders considering finite strains, International journal of non-linear mechanics, 1986, vol. 21, pp. 61-71.
- 4- R. K. Penny and D. L. Marriott, Design for creep, Springer Science & Business Media, 1995.
- 5- H. Chen, Z. Cen, B. Xu, and S. Zhan, A numerical method for reference stress in the evaluation of